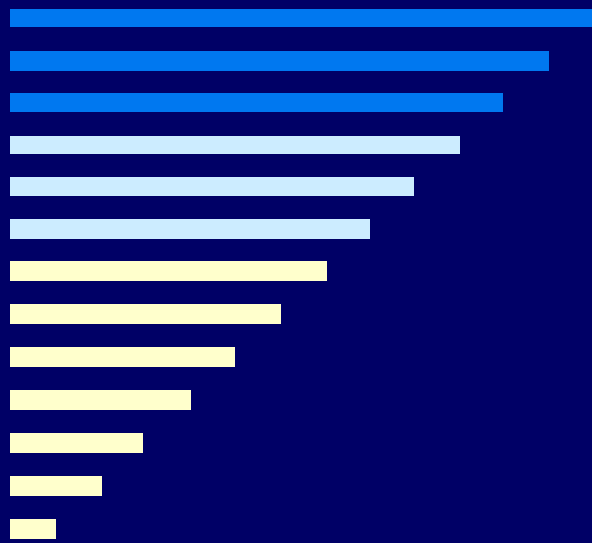
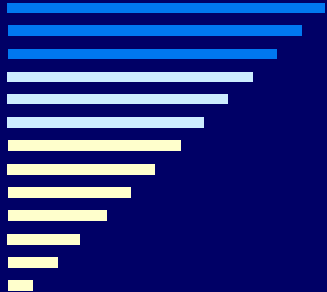


# Nowe scyntyulatory w ochronie granic

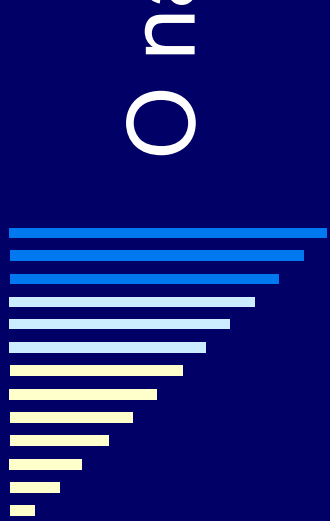
**Agnieszka Syntfeld-Każuch**  
Instytut Problemów Jądrowych, Świerk



# Główne zagadnienia



- Scyntylatory – najnowsze obserwacje, odkrycia
- Wykrywanie materiałów niebezpiecznych – kryteria doboru optymalnego detektora
- Detekcja neutronów



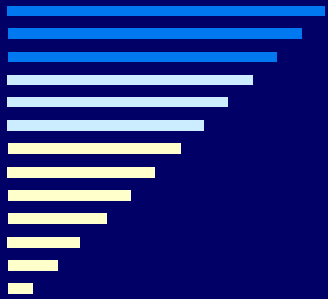
## O nas

- Wrzesień 2001 – wzrost zainteresowania wykrywaniem materiałów niebezpiecznych na przejściach granicznych – kontrakty IAEA, Target (Niemcy) – obecnie ICX Technologies, **projekt AiD** (80 mln PLN /6 lat/)

„Rozwój specjalizowanych systemów wykorzystujących AKCELERATORY i „**DETEKTORY** promieniowania jonizującego do terapii medycznej oraz wykrywania materiałów niebezpiecznych i odpadów toksycznych”

Radiografia X      Aktywacja neutronowa

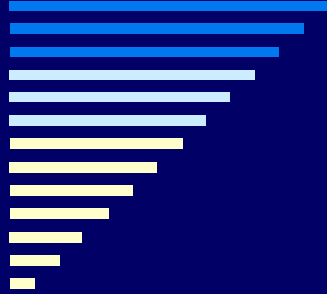
Fotorozszczepienie



# Scyntylator - charakterystyka

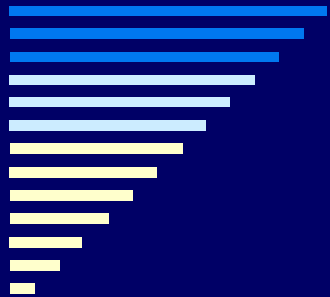
## Scyntylator idealny

- Duża wydajność świetlna (liczba fotonów per MeV)
- Szybki impuls świetlny
- Wysoka wydajność detekcji (gestość,  $Z_{\text{eff}}$ )
- Bardzo dobra energetyczna zdolność rozdzielicza
- Proporcjonalny
- Brak poświaty
- Odporny mechanicznie, nie chlonie wilgoci, TANI !



# Właściwości wybranych scyntylatorów

Parametr	Nal(Tl)	Csl(Tl)	$^{6}\text{Li}(\text{Eu})$	LaBr <sub>3</sub> (Ce)
Gęstość [g/cm <sup>3</sup> ]	3,67	4,51	4,08	<b>5,3</b>
Czas rozpadu τ	230 ns	<u>730 ns</u>	1,2 μs	<b>18 ns</b>
$Z_{\text{eff}}$	50	<b>54</b>	53	46,9
Ilość światła [fotony/MeV]	40 000	53 000	15 000	<b>60 000</b>
Widmo emisjyne [nm]	420	550	475	<b>380</b>
Nieproporcjonalność dla 22 keV [%]	+20	+17/+11	+14	-5
$\Delta E/E$ dla 662 keV [%]	6,5	5,8/5,2	7,5	<b>2,7</b>

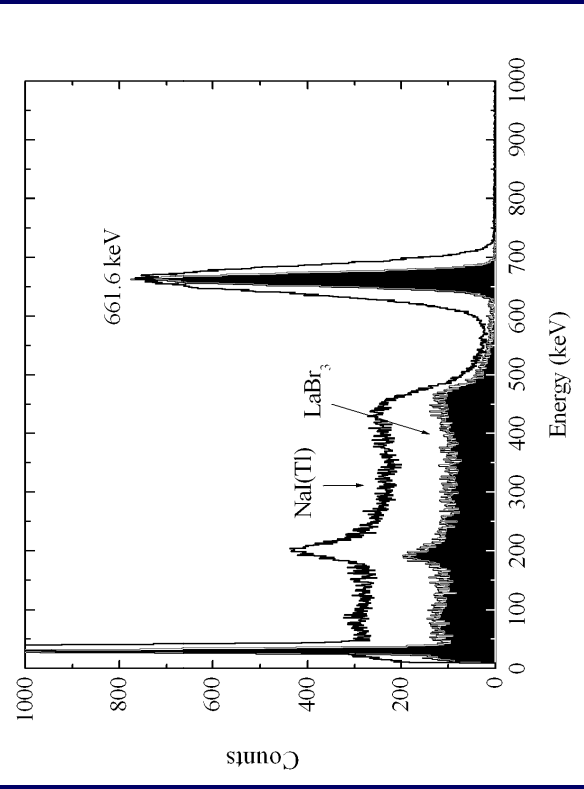


# LaBr<sub>3</sub>(Ce) – bezkonkurencyjny, ale...

opatentowany (Saint-Gobain Crystals)

wysoka cena: 3" X 3" **30 000 €**

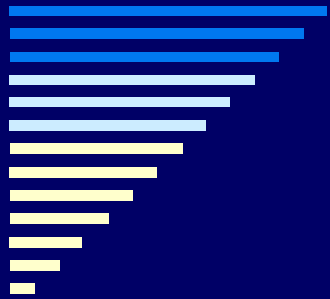
wewnętrzna radioaktywność (<sup>227</sup>Ac, 1,6-2,6 MeV, mniej niż  
0,15 zliczeń/s\*cm<sup>3</sup>)



1"X1" LaBr<sub>3</sub> vs. 1"X30 mm NaI(Tl)

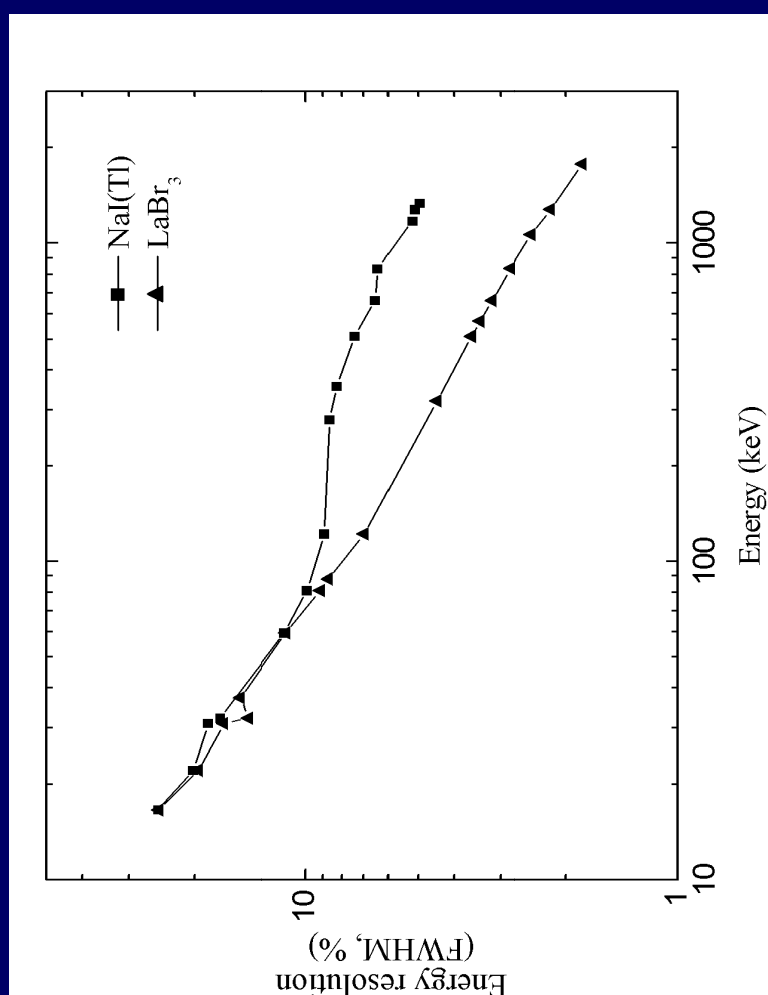
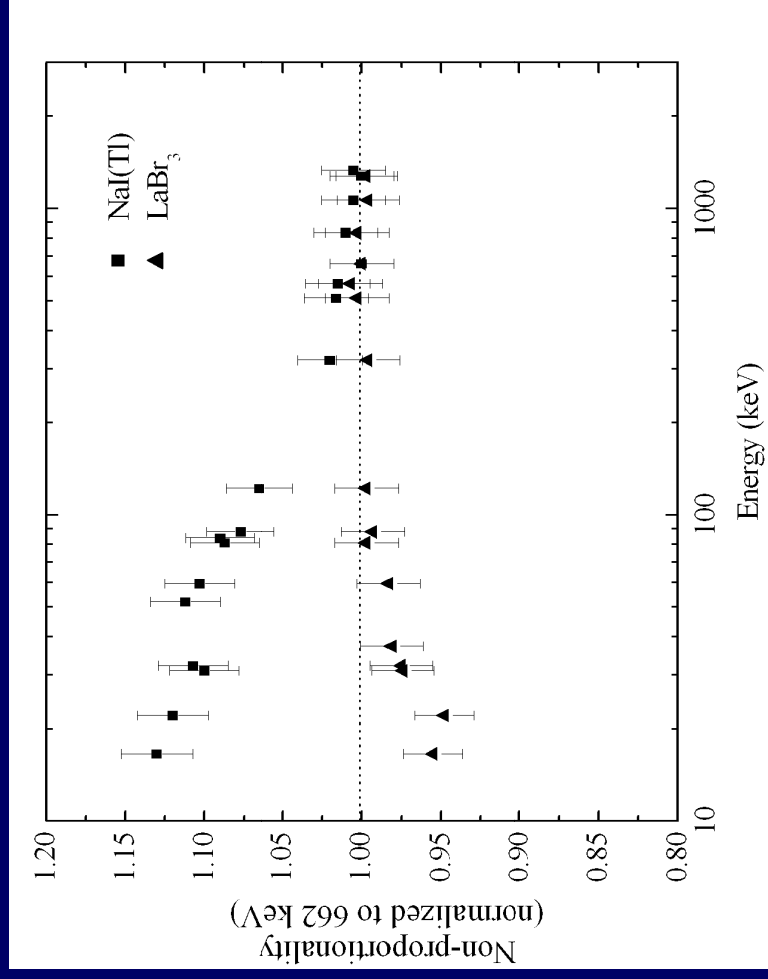
Dwa razy lepsza energetyczna  
zdolność rozdzielcza LaBr<sub>3</sub>

Fotopik/Compton  
LaBr<sub>3</sub> 5,8  
NaI(Tl) 3,2

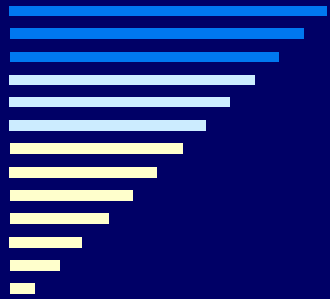


# LaBr<sub>3</sub> – nieproporcjonalność, energetyczna zdolność rozdzielcza

A. Syntfeld et al. IEEE Trans. Nucl. Sci. 53 (2006) 3938



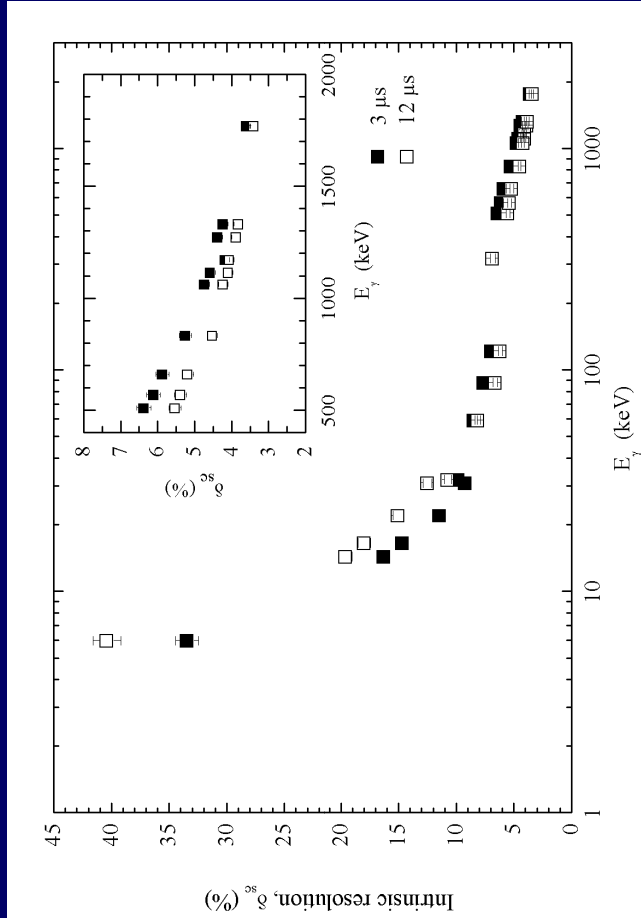
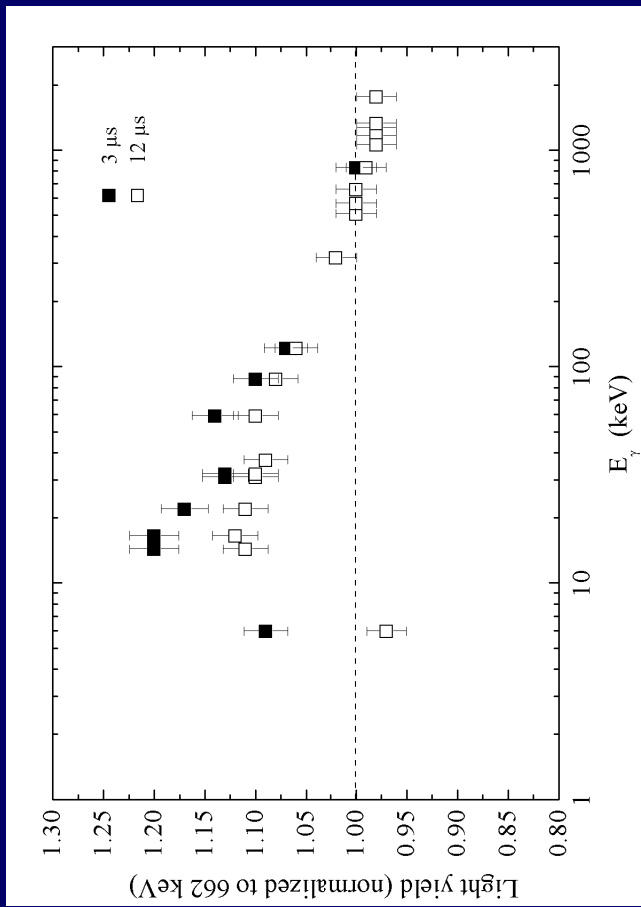
1''x1'' LaBr<sub>3</sub> vs. 1''x30 mm NaI(Tl)



# CsI(Tl) - Optymalizacja

- Długi całkowanie impulsu światlnego (kilka latosec  $\mu\text{s}$ ) poprawia nieproporcjonalność i energetyczna zdolność rozdzielczą

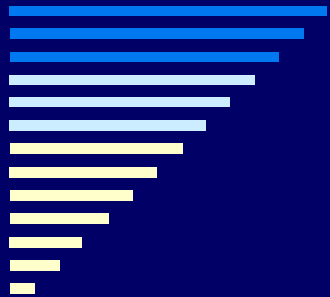
A. Syntfeld-Każuch et al. IEEE Trans. Nucl. Sci. 54 (2007) 1836



Krzywa nieproporcjonalności

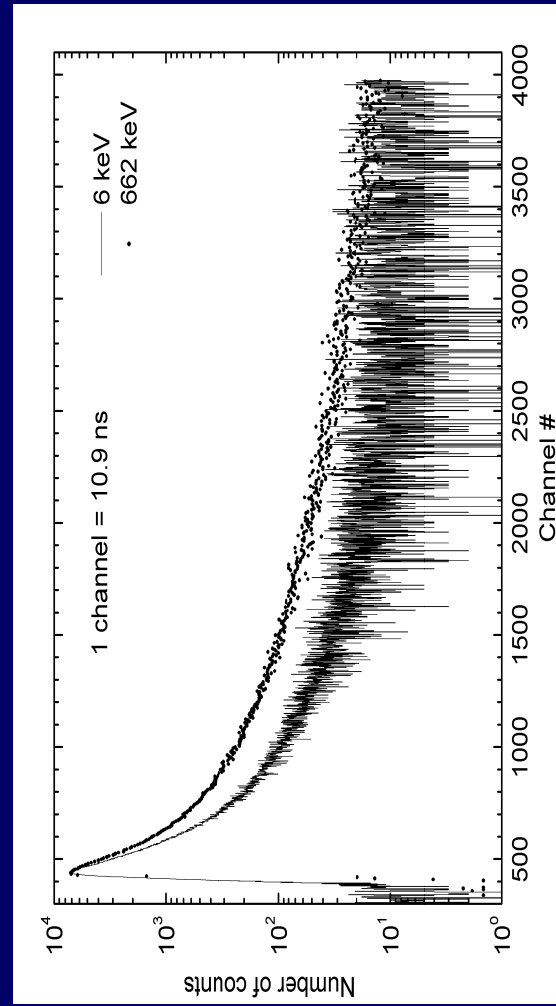
Wewnętrzna zdolność rozdzielcza vs.  $E_\gamma$

Nowe scyntylatory  
w ochronie granic

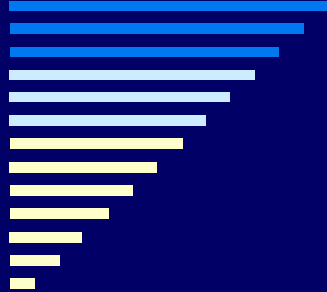


# CsI(Tl) – impuls świetlny

- Kształt impulsu świetlnego zależy od energii promieniowania  $\gamma$ : 730 ns (40-50%), 3,1  $\mu\text{s}$ , 16  $\mu\text{s}$
- Dla  $E_\gamma < 60 \text{ keV}$  redukcyjność intensywności w kierunku od wolnych składowych do szybkiej
- Skrócenie czasu trwania impulsu wraz ze wzrostem  $dE/dx$  (elektryny, cząstki  $\alpha$ )



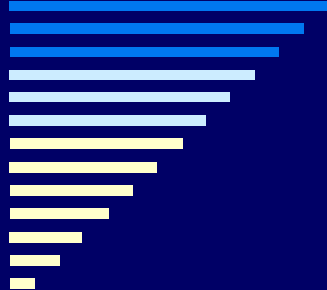
A. Syntfeld-Kažuch et al. *IEEE Trans. Nucl. Sci.* 55 (2008) 1246



# Wykrywanie materiałów niebezpiecznych (jądrowe, narkotyki, odpady toksyczne)

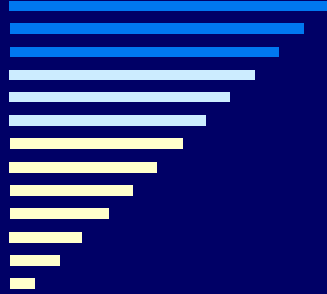
- Wg IAEA: materiały radioaktywne naturalnie występujące w przyrodzie (NORM), specjalne materiały jądrowe (SNM), radioizotopy medyczne, przemysłowe
- Specjalne materiały jądrowe :  $^{233,235}\text{U}$ ,  $^{239}\text{Pu}$   
w tym:
  - Reactor Grade Pu (do 93%  $^{239}\text{Pu}$ )
  - Weapons Grade Pu (powyżej 93%  $^{239}\text{Pu}$ )
  - HEU (highly enriched U np. 90%  $^{235}\text{U}$ )
- Próbki plutonu:  $^{239}\text{Pu} + 240\text{Pu} + 241\text{Pu} + 242\text{Pu}$   
 $^{239}\text{Pu}$ :
  - 20 szybkich neutronów na sekundę/kg oraz promieniowanie  $\gamma$  300-770 keV
- $^{240}\text{Pu}$ :
  - 10<sup>5</sup> razy więcej neutronów niż  $^{239}\text{Pu}$

**Detekcja neutronów !**



# Kryteria doboru detektorów promieniowania $\gamma$

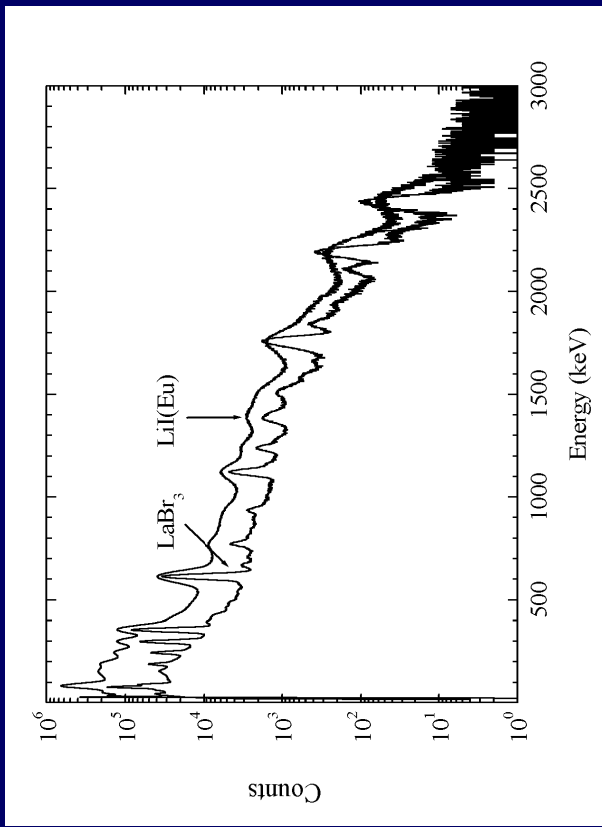
- Wysoka czułość** pozwalająca znaleźć skabe źródło promieniowania  $\gamma$  (duża objętość zapewnia wykrycie rozproszonego promieniowania  $\gamma$ )
- Dobra energetyczna zdolność rozdzielcza** – w szczególności w zakresie niskich energii, gdzie gęstość linii  $\gamma$  wzrasta)
- Szybki czas odpowiedzi (szybki czas zaniku impulsu lub zbierania ładunku, CdZnTe)
- Możliwość pracy detektora przy dużych tempach zliczeń, do 100 K z/s (sytuacje awaryjne)
- Inne (odporność mechaniczna, stabilność temperaturowa, niska cena, dostępność)



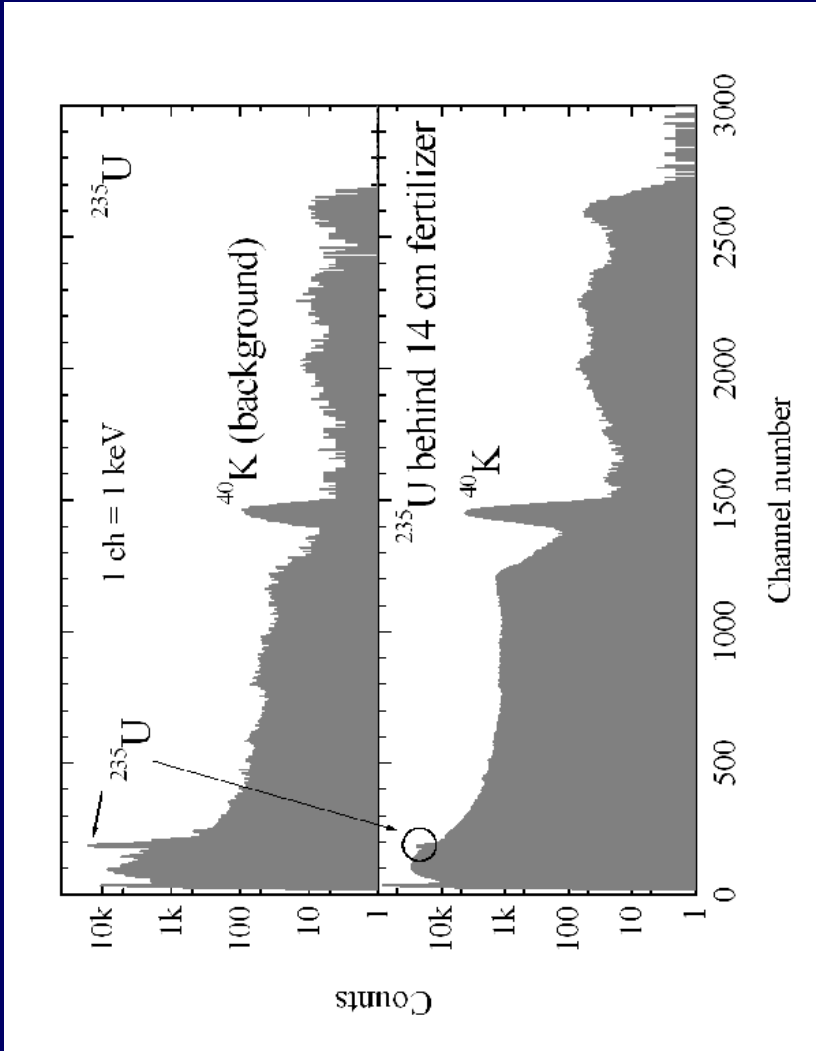
# $\text{LaBr}_3$ – wykrywanie materiałów jądrowych

$^{226}\text{Ra}$  (NORM)

LEU (4,46%  $^{235}\text{U}$ )

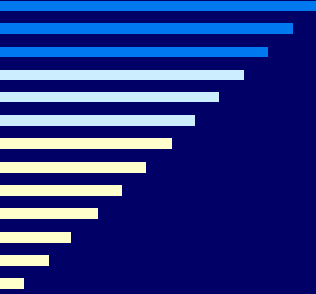


Linia 186 keV nadal widoczna!



Channel number

Nowe scyntylatory  
w ochronie granic



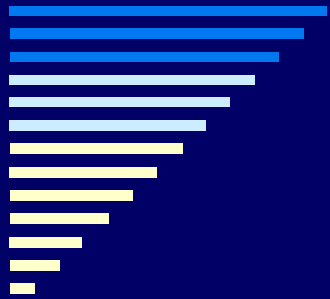
## Detektory neutronów – ${}^6\text{Li}(\text{Eu})$

- Wysoko wzbogacony litem-6 kryształ LiI(Eu) (96%  ${}^6\text{Li}$ ) jako detektor neutronów termicznych ( $\sigma_{\text{th}} = 940 \text{ b}$ )



$$Q = 4.78 \text{ MeV}, \quad \text{gdzie } \alpha (2,05 \text{ MeV}) \text{ oraz } t (2,73 \text{ MeV})$$

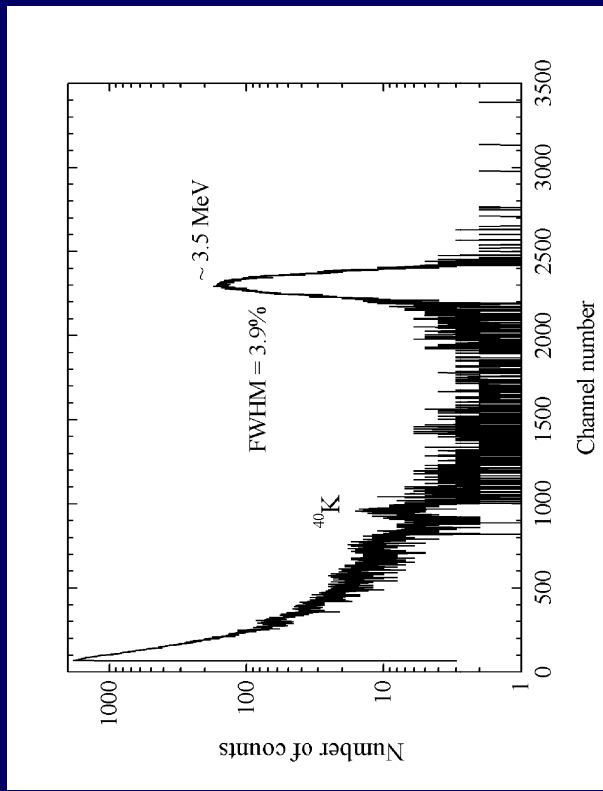
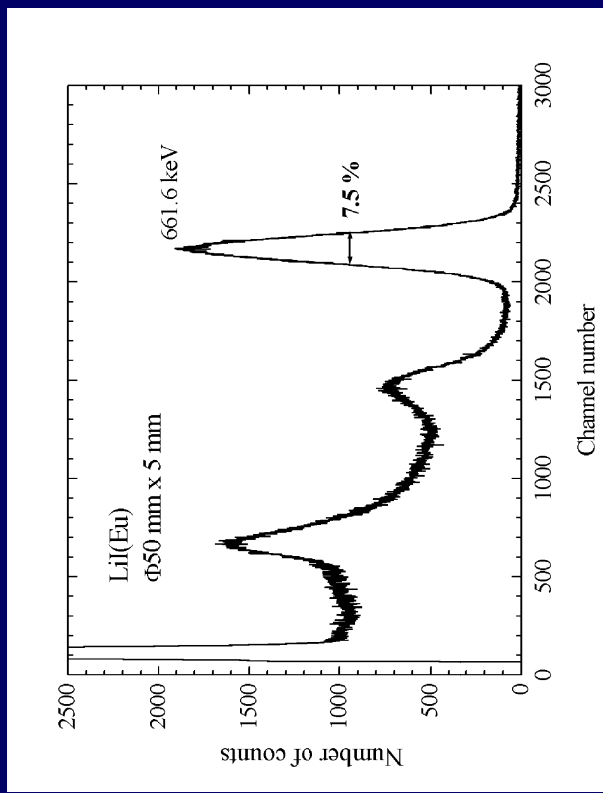
- Naładowanym cząstkom rejestrowanym w scyntylatorze odpowiada duża gęstość ionizacji wzduż trajektorii – wygaszenie ilości światła generowanego w krysztale (GEE – gamma equivalent energy  $\neq Q$ )



# $^{6}\text{Li}(\text{Eu})$ – spektrometria $\gamma$ i neutronów

□ Ø50x5 mm + światłowód + XP5200 PMT

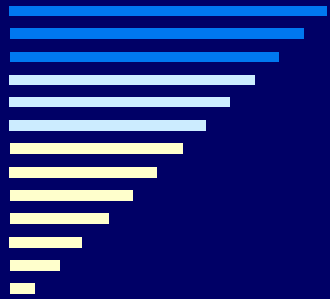
A. Syntfeld et al. IEEE Trans. Nucl. Sci. 52 (2005) 3151



$$^{137}\text{Cs}, t_{RC} = 6 \mu\text{s}$$

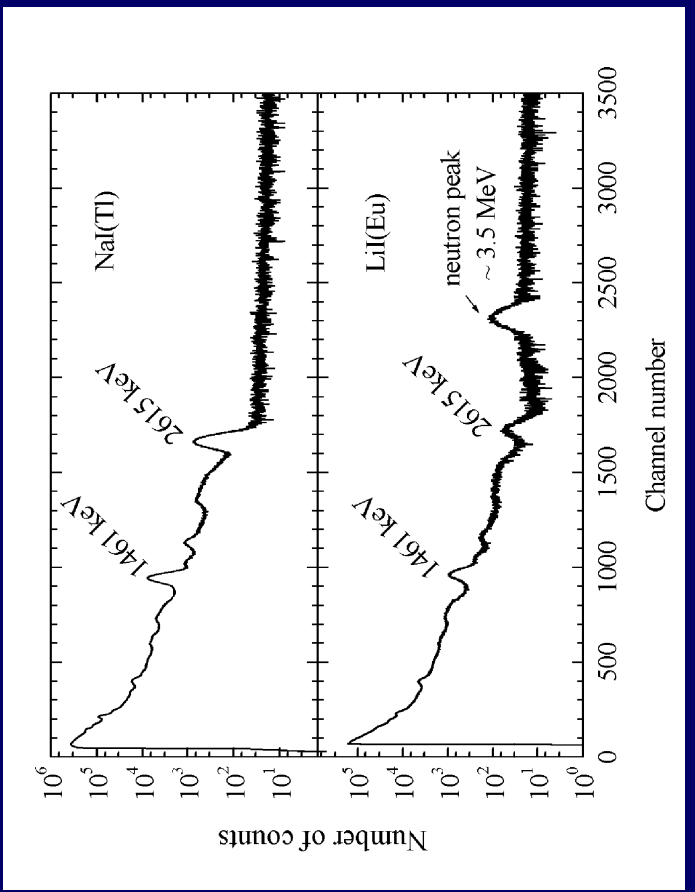
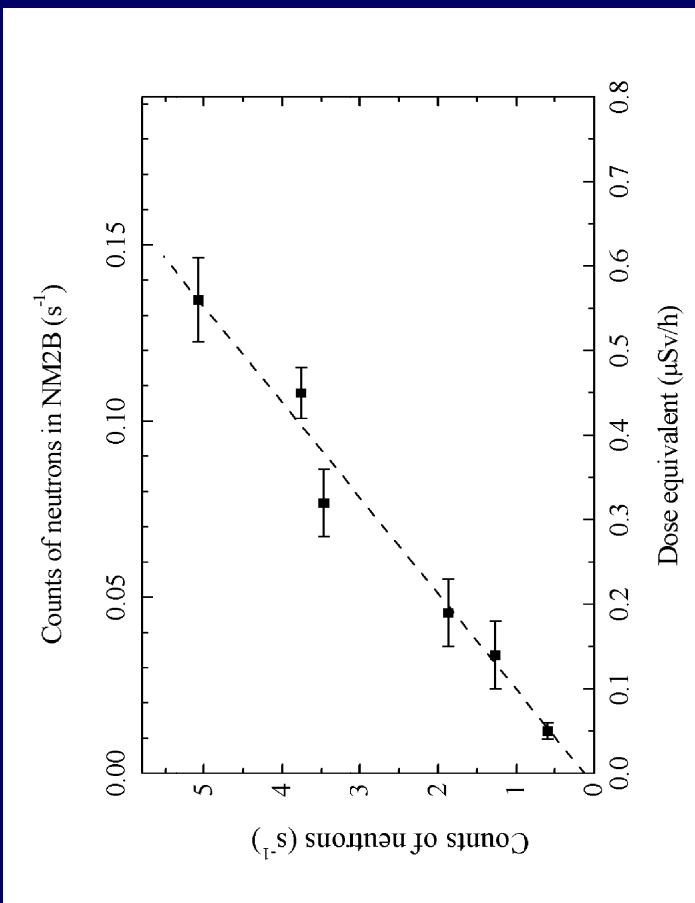
Žródło neutronów Pu-Be  
osłonięte parafiną i ochronią

Nowe scyntyulatory  
w ochronie granic



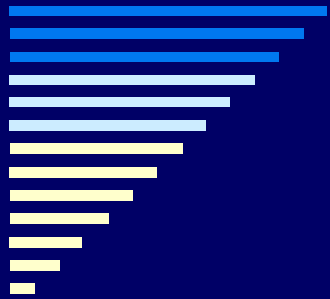
## $^{6}\text{Li}(\text{Eu})$ – spektrometria neutronów

- $\varnothing 50 \times 5$  mm + światłotwórcz + XP5200 PMT
- Monitor neutronowy NM2B do pomiaru dawki promieniowania



Pomiar tła, 93 h, 0,025 neutronów/s

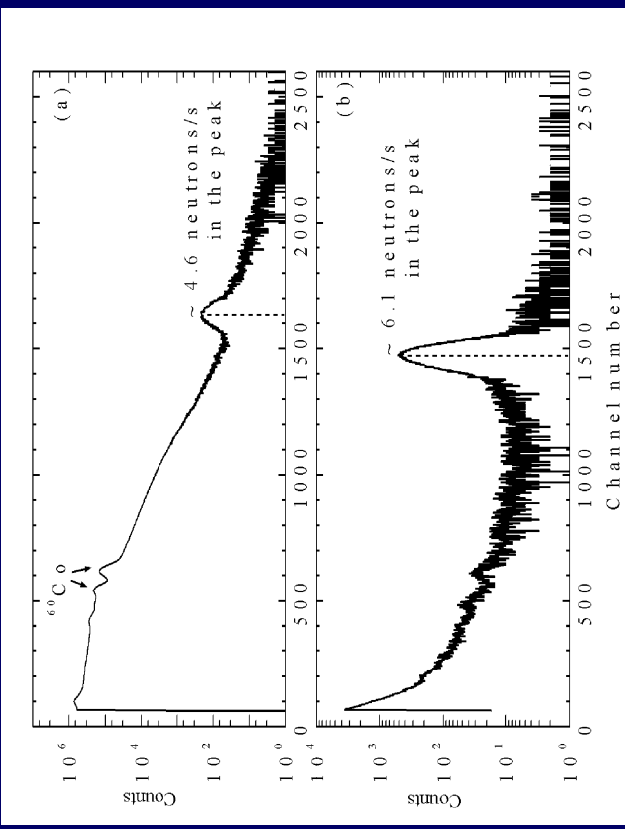
Nowe scyntylatory  
w ochronie granic



# $^{6}\text{Li}(\text{Eu})$ – spektrometria neutronów

$^{6}\text{Li}(\text{Eu})$  w silnym polu promieniowania  $\gamma$   
 $\text{Pu-Be} + ^{60}\text{Co}$  (kilkanaście MBq)

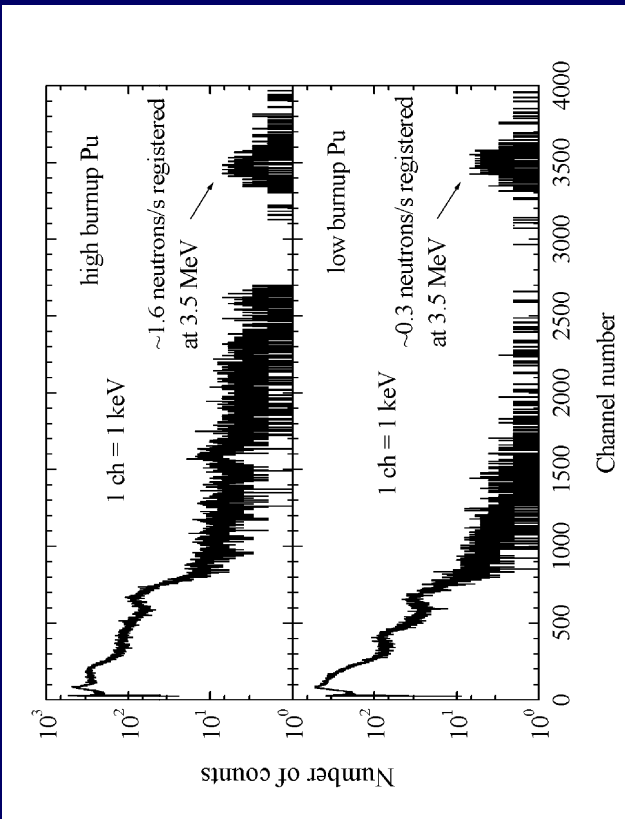
100 000 zliczeń- $\gamma/\text{s}$  – górnny rysunek



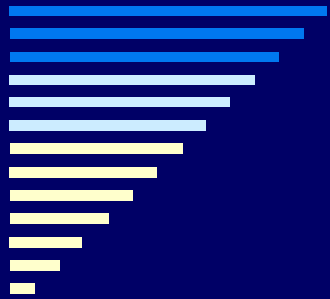
100 zliczeń- $\gamma/\text{s}$  – dolny rysunek

Dwie próbki Pu + 3 cm Pb, bez moderatora  
 $\text{Pu-Be} + ^{60}\text{Co}$  (kilkanaście MBq)

High burnup Pu – 61%  $^{239}\text{Pu}$



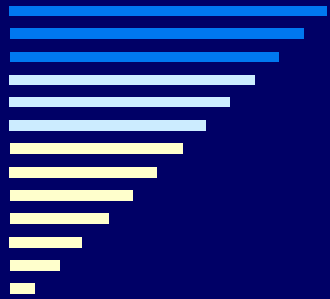
Low burnup Pu – 93%  $^{239}\text{Pu}$



## Dyskryminacja n/γ dla ${}^6\text{Li}(\text{Eu})$

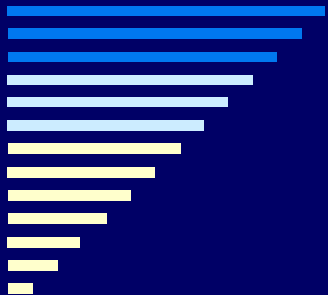
- Detektor  ${}^3\text{He}$  + moderator, jeśli małe rozmiary - to wysokie ciśnienie gazu (powyżej 2.8 atm)
- Alternatywa dla  ${}^3\text{He} \rightarrow {}^6\text{Li}(\text{Eu})$  pracujący (?) w mieszanym polu  $\gamma$ -n
- Dyskryminacja n/γ spełniona (pik neutronowy ~3,5 MeV)
- $\Delta E/E @ 662 \text{ keV}$  **7,5%** eliminuje scyntylator na korzyść  $\text{LaBr}_3$
- Propozycja\*:  ${}^6\text{Li}(\text{Eu})$  jako licznik neutronów + Si-PIN  
Si-PIN jako fotodetektor dla  ${}^6\text{Li}(\text{Eu})$  i detektor promieniowania  $\gamma$  jednocześnie -> konieczna dyskryminacja kształtu impulsu z fotodiody (DSP)

\* G. Pausch, J. Stein, IEEE Trans. Nucl. Sci 55 (2008) 1413



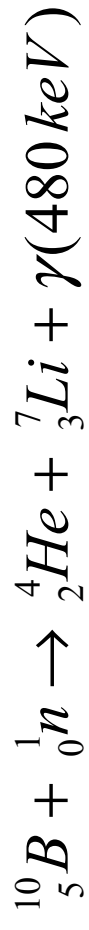
## Ciekłe scyntylatory neutronowe

- Prognozowany wzrost cen detektorów  ${}^3\text{He}$  -> scyntylatory ciekłe, kompozytowe
- Ciekłe scyntylatory organiczne wypełnione dodatkowo  ${}^{10}\text{B}$ : **BC523A** oraz **EJ309B5**
- Jednoczesna detekcja neutronów i promieniowania  $\gamma$  – konieczne rozróżnianie po kształcie impulsu (PSD, Pulse Shape Discrimination)

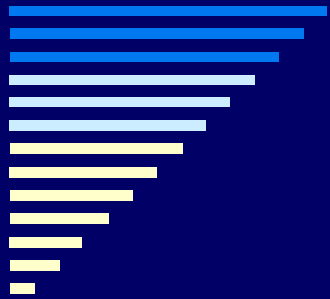


## BC523A oraz EJ309B5

- Scyntylatory ciekłe jako detektory szybkich neutronów
- Dodanie  $^{10}\text{B}$  – detekcja neutronów wolnych poprzez reakcję  $(n,\alpha)$   $Q = 2.3 \text{ MeV}$



- Scyntylatory ciekłe – tanie, duże objętości, wada: niska temperatura zapłonu, BC523A – 8 °C
- Scyntylator EJ309B5 (5%  $^{10}\text{B}$ ) **+ 144 °C**
- Niska wydajność światlna dla zdarzeń wychwytu neutronu wolnego -> konieczne użycie fotopowielacza o wysokiej wydajności kwantowej (35%)

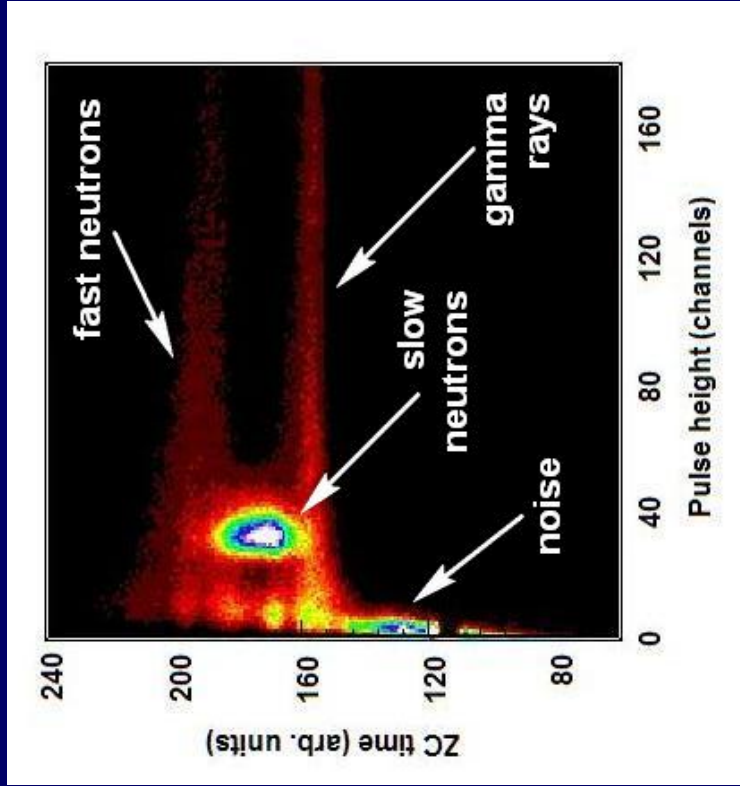


# BC523A oraz EJ309B5

L. Świderski et al.. złożone do IEEE Trans. Nucl. Sci.

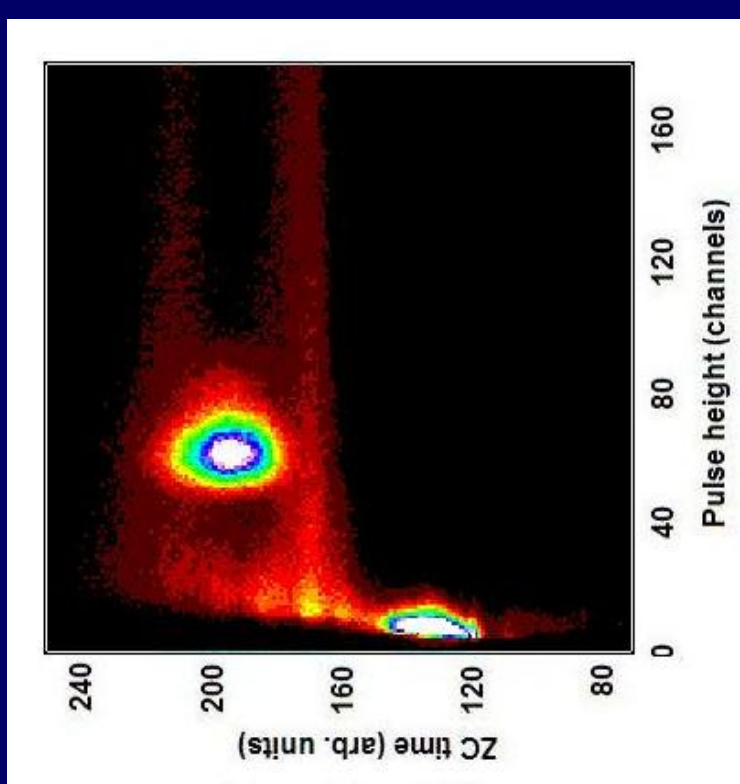
## BC523A2 2% $^{10}\text{B}$ ,

Pu-Be + parafina + ołów

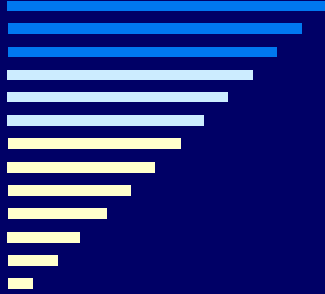


## EJ309B5 5% $^{10}\text{B}$

Pu-Be + parafina + ołów



Nowe scyntylatory  
w ochronie granic



# Podsumowanie

- Spektrometria  $\gamma$  – LaBr<sub>3</sub>(Ce): duża wydajność świetlna, szybki impuls, prawie proporcjonalny, stabilny termicznie, bardzo dobra energetyczna zdolność rozdzielcza (wysoka cena!)
- Spektrometria neutronów – <sup>6</sup>Li(Eu) raczej jako licznik neutronów, łącznie z Si-PIN mały przenośny instrument (analiza wysokości i szerokości impulsu w dyskryminacji n- $\gamma$ )
- Poszukiwanie alternatyw dla <sup>3</sup>He: BC523A i EJ309B5, dodatkowo wypełnione <sup>10</sup>B (detekcja neutronów wolnych)
  - w fazie testów